

УДК 546.719:548.3

**КРИСТАЛЛИЧЕСКАЯ СТРУКТУРА КЛАСТЕРНОГО КОМПЛЕКСА  
[CsK<sub>2</sub>(μ<sub>3</sub>-DMF)<sub>2</sub>(μ-DMF)<sub>3</sub>(DMF)<sub>4</sub>][{Re<sub>6</sub>(μ<sub>3</sub>-Se)<sub>8</sub>}Br<sub>6</sub>]**

**А.А. Иванов<sup>1</sup>, Н.В. Курачева<sup>1,2</sup>, М.А. Шестопалов<sup>1,2</sup>, Ю.В. Миронов<sup>1,2</sup>**

<sup>1</sup>Институт неорганической химии им. А.В. Николаева СО РАН, Новосибирск, Россия

E-mail: shtopy@niic.nsc.ru

<sup>2</sup>Новосибирский национальный исследовательский государственный университет, Россия

Статья поступила 1 сентября 2016 г.

Кластерный комплекс состава [CsK<sub>2</sub>(μ<sub>3</sub>-DMF)<sub>2</sub>(μ-DMF)<sub>3</sub>(DMF)<sub>4</sub>][{Re<sub>6</sub>(μ<sub>3</sub>-Se)<sub>8</sub>}Br<sub>6</sub>] получен при взаимодействии K<sub>4</sub>[{Re<sub>6</sub>(μ<sub>3</sub>-Se)<sub>8</sub>}](OH)<sub>6</sub>·8H<sub>2</sub>O с бромистоводородной кислотой в присутствии CsBr и последующей его кристаллизацией путем диффузии паров диэтилового эфира в раствор в диметилформамиде. Соединение кристаллизуется в триклинной сингонии, пространственная группа P1}, с параметрами элементарной ячейки  $a = 13,6169(3)$ ,  $b = 14,7584(4)$ ,  $c = 18,1573(4)$  Å,  $\alpha = 103,332(1)$ ,  $\beta = 108,250(1)$ ,  $\gamma = 97,371(1)$ °,  $V = 3286,55(14)$  Å<sup>3</sup>,  $Z = 2$ ,  $d_{\text{выч}} = 3,130$  г/см<sup>3</sup>. Кристаллическая структура построена из анионных кластерных комплексов [{Re<sub>6</sub>Se<sub>8</sub>}Br<sub>6</sub>]<sup>3-</sup> и комплексных катионов [CsK<sub>2</sub>(μ<sub>3</sub>-DMF)<sub>2</sub>(μ-DMF)<sub>3</sub>(DMF)<sub>4</sub>]<sup>3+</sup>.

DOI: 10.15372/JSC20170519

**Ключевые слова:** рений, кристаллическая структура, октаэдрические халькогенидные кластеры.

**ВВЕДЕНИЕ**

Октаэдрические халькогенидные кластерные комплексы рения обладают рядом перспективных физико-химических свойств [1—6], делающих их привлекательными объектами современных научных исследований. В последнее время появляется большое количество работ, посвященных получению различных функциональных материалов на основе таких кластерных соединений [7—11]. Кроме того, благодаря наличию выраженной люминесценции и рентгеновской контрастности октаэдрические кластерные комплексы рения активно изучаются с точки зрения биологических свойств [12—16]. Одним из часто используемых методов получения кластерных соединений, пригодных для дальнейшего их использования в качестве допантов в различные материалы или в качестве объектов для биологических исследований, является замещение терминальных ацидо-лигандов в комплексах [{Re<sub>6</sub>(μ<sub>3</sub>-Q)<sub>8</sub>}X<sub>6</sub>]<sup>3-/4-</sup> (Q = S, Se, X = Cl, Br, I) на различные N- и P-донорные органические лиганды [17—23]. Однако, несмотря на распространенность данного метода, не все исходные кластерные комплексы структурно охарактеризованы. В настоящей работе впервые было синтезировано и структурно охарактеризовано новое соединение, содержащее комплексный катион [CsK<sub>2</sub>(μ<sub>3</sub>-DMF)<sub>2</sub>(μ-DMF)<sub>3</sub>(DMF)<sub>4</sub>]<sup>3+</sup> и кластерный анион [{Re<sub>6</sub>(μ<sub>3</sub>-Se)<sub>8</sub>}Br<sub>6</sub>]<sup>3-</sup>.

**ЭКСПЕРИМЕНТАЛЬНАЯ ЧАСТЬ**

Исходные рений, селен, бром, гидроксид калия, бромистоводородная кислота, бромид цезия, N,N'-диметилформамид (ДМФА, DMF) были квалификации не ниже ХЧ и использовались

в коммерчески доступной форме без дополнительной очистки.  $\text{Re}_6\text{Se}_8\text{Br}_2$  получали из простых веществ по методике, описанной в статьях [ 24, 25 ].  $\text{K}_4[\{\text{Re}_6(\mu_3\text{-Se})_8\}(\text{OH})_6] \cdot 8\text{H}_2\text{O}$  получали из  $\text{Re}_6\text{Se}_8\text{Br}_2$  по методике, описанной в статье [ 26 ].

**Синтез  $[\text{CsK}_2(\mu_3\text{-DMF})_2(\mu\text{-DMF})_3(\text{DMF})_4][\{\text{Re}_6(\mu_3\text{-Se})_8\}\text{Br}_6]$ .** К 10 мл водного раствора, содержащего 100 мг (46,5 ммоль)  $\text{K}_4[\{\text{Re}_6\text{Se}_8\}(\text{OH})_6] \cdot 8\text{H}_2\text{O}$ , добавляли 10 мл бромистоводородной кислоты и кипятили в течение 10 мин. Затем к раствору добавляли 39,6 мг (185,9 ммоль) бромида цезия и кипятили еще 10 мин. Полученный раствор медленно упаривали досуха и экстрагировали в 3 мл ДМФА. Затем проводили диффузию паров диэтилового эфира, помещая 10-миллилитровый сосуд, содержащий 3 мл раствора комплекса в ДМФА, в 50-миллилитровый сосуд с плотно закручивающейся крышкой, содержащий 15 мл диэтилового эфира. В результате диффузии были получены кристаллы, пригодные для рентгеноструктурного анализа на монокристаллах. Кристаллы отделяли от раствора и высушивали на воздухе. Выход: 100 мг (70 %). Найдено, %: C 10,3, H 1,9, N 4,0. Вычислено, %: C 10,47, H 2,05, N 4,07. По данным EDS соотношение элементов в образце составляет  $\text{Cs:K:Re:Se:Br} = 0,9:1,9:6:7,8:6,1$ .

**Рентгеноструктурный анализ.** Строение соединения  $[\text{CsK}_2(\mu_3\text{-DMF})_2(\mu\text{-DMF})_3(\text{DMF})_4] \times [\{\text{Re}_6\text{Se}_8\}\text{Br}_6]$  установлено методом рентгеноструктурного анализа по стандартной методике на автоматическом четырехкружном дифрактометре Bruker-Nonius X8 APEX, оснащенном двухкоординатным CCD детектором при температуре 150 К с использованием излучения  $\text{MoK}_\alpha$  ( $\lambda = 0,71013 \text{ \AA}$ ) и графитового монохроматора.

Кристаллографические данные для  $\text{C}_{27}\text{H}_{63}\text{Br}_6\text{CsK}_2\text{N}_9\text{O}_9\text{Re}_6\text{Se}_8$ :  $M_r = 3097,31$ , триклинная сингония, пространственная группа  $P\bar{1}$ ,  $Z = 2$ ,  $a = 13,6169(3)$ ,  $b = 14,7584(4)$ ,  $c = 18,1573(4) \text{ \AA}$ ,  $\alpha = 103,332(1)$ ,  $\beta = 108,250(1)$ ,  $\gamma = 97,371(1)^\circ$ ,  $V = 3286,55(14) \text{ \AA}^3$ ,  $d_{\text{вып}} = 3,130 \text{ г/см}^3$ ,  $\mu = 19,801 \text{ mm}^{-1}$ . Размеры кристалла:  $0,20 \times 0,15 \times 0,10$  мм. Цвет кристалла: коричневый. Всего измерено отражений 37172 в области съемки  $\theta$  от  $2,16$  до  $28,32^\circ$  ( $-18 \leq h \leq 15$ ,  $-19 \leq k \leq 19$ ,  $-24 \leq l \leq 24$ ), из которых 16314 независимых и 13036 наблюдаемых ( $I \geq 2\sigma(I)$ ),  $R(\text{int}) = 0,0392$ . Число уточняемых параметров 648. Окончательные значения  $R$ -факторов составили:  $R_1 = 0,0262$ ,  $wR_2 = 0,0567$  для 13036 наблюдаемых рефлексов и  $R_1 = 0,0385$ ,  $wR_2 = 0,0599$  для всех 16314 независимых рефлексов. Значение  $S$ -фактора по  $F^2$  составило 1,007;  $\Delta\rho_{\text{max}} = 1,390$ ,  $\Delta\rho_{\text{min}} = -1,384 \text{ e/}\text{\AA}^3$ .

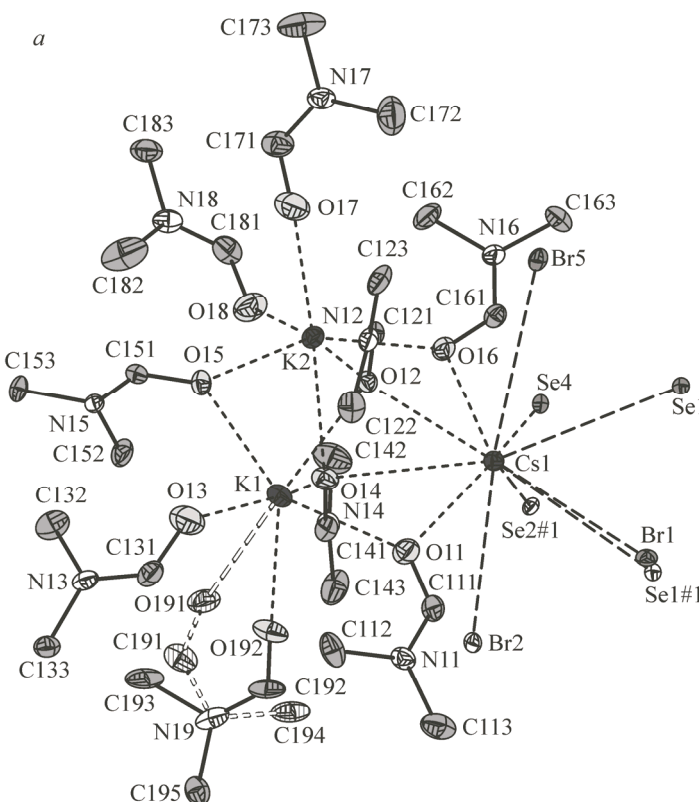
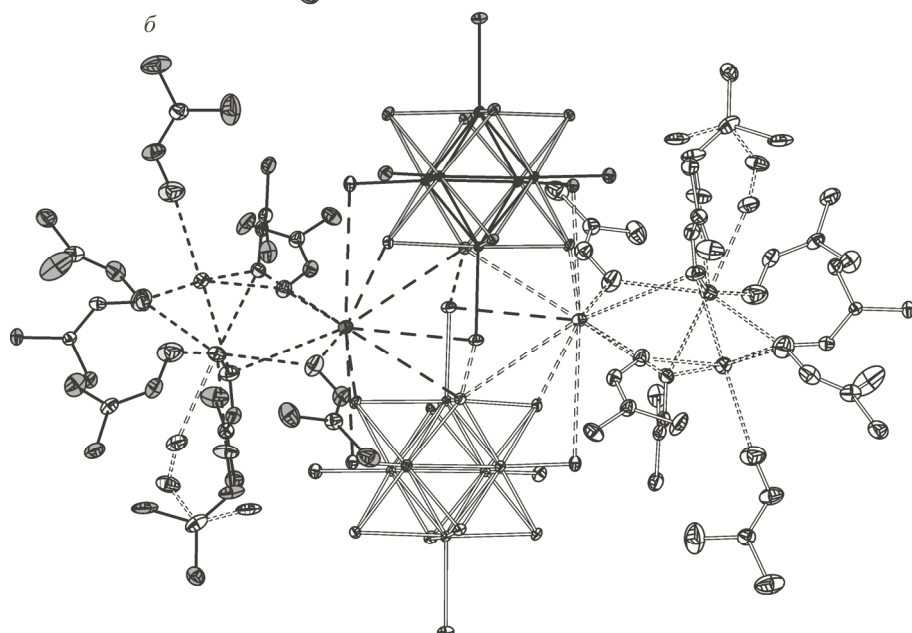
Поглощение учтено эмпирически, исходя из интенсивностей эквивалентных рефлексов с помощью программы SADABS [ 27 ]. Структура решена прямым методом и уточнена полноматричным МНК в анизотропном для всех неводородных атомов приближении по комплексу программ SHELXTL [ 27, 28 ]. Атомы водорода молекул диметилформамида локализованы геометрически и уточнены в изотропном приближении жесткого тела.

Координаты атомов и величины тепловых параметров депонированы в Кембриджском банке структурных данных (CCDC 1501516) и могут быть получены по адресу [www.ccdc.cam.ac.uk/data\\_request/cif](http://www.ccdc.cam.ac.uk/data_request/cif) или у авторов.

## РЕЗУЛЬТАТЫ ИХ ОБСУЖДЕНИЕ

В литературе описан и структурно охарактеризован практически весь ряд галогенидных кластерных комплексов рения состава  $[\{\text{Re}_6(\mu_3\text{-Q})_8\}\text{X}_6]^{3-/4-}$  ( $\text{Q} = \text{S}, \text{Se}$ ,  $\text{X} = \text{Cl}, \text{Br}, \text{I}$ ) [ 26, 29—31 ]. Однако среди всех описанных халькогалогенидных кластерных комплексов рения до настоящей работы в литературе отсутствовали какие-либо кристаллографические данные для кластерного анионного комплекса  $[\{\text{Re}_6(\mu_3\text{-Se})_8\}\text{Br}_6]^{3-}$ .

Согласно данным РСА, в ходе реакции произошло замещение всех шести гидроксолигандов на бромид-ионы, а также одноэлектронное окисление кластерного ядра с образованием 23 электронного комплекса  $[\{\text{Re}_6(\mu_3\text{-Se})_8\}\text{Br}_6]^{3-}$ . Такое одноэлектронное окисление характерно для комплексов с кластерным ядром  $\{\text{Re}_6(\mu_3\text{-Se})_8\}$  [ 26 ]. В кристаллической структуре можно выделить кластерный анион  $[\{\text{Re}_6(\mu_3\text{-Se})_8\}\text{Br}_6]^{3-}$  и комплексный катион  $[\text{CsK}_2(\mu_3\text{-DMF})_2(\mu\text{-DMF})_3(\text{DMF})_4]^{3+}$  (см. рисунок, *a*). Все атомы находятся в общих позициях. В структуре можно выделить димерный фрагмент, состоящий из двух кластерных анионов и двух ком-

*a*

Строение комплексного катиона  $[\text{CsK}_2(\mu_3\text{-DMF})_2(\mu\text{-DMF})_3(\text{DMF})_4]^{3+}$  (*a*) и димерного фрагмента (тепловые эллипсоиды даны с 30%-ой вероятностью) (*b*).  
Атомы водорода не показаны

плексных катионов (см. рисунок, *b*). Центр данного димера совпадает с центром инверсии  $(0, 1/2, 0)$ . Отметим, что между кластерными анионами в димере и между димерами наблюдаются ван-дер-ваальсовы взаимодействия  $\text{Se}1 \cdots \text{Br}1\#1$  ( $\#1: -x, 1-y, -z$ ) с расстоянием  $3,757(3)$  Å и  $\text{Se}7 \cdots \text{Br}6\#1$   $3,915(4)$  Å, что типично для подобных кластерных комплексов [20]. Атомы калия K1 и K2 содержат в своем координационном окружении 6 молекул ДМФА (2 DMF, расстояния

К—О 2,601(5)—2,690(7) Å; 2 μ-DMF 2,684(3)—2,729(4) Å и 2 μ<sub>3</sub>-DMF 2,721(3)—2,784(3) Å), которые образуют искаженные координационные октаэдры. Цезий, в свою очередь, имеет координационное число 11, образуя искаженный усеченный икосаэдр, вершины которого состоят из четырех атомов кислорода молекул ДМФА (2 μ-DMF, расстояния Cs—O 3,069(3) и 3,132(4) Å и 2 μ<sub>3</sub>-DMF 3,178(3) и 3,468(3) Å), а также по 2 атома Se (Se1 и Se4, Se1#1 и Se2#1; расстояния Cs—Se 3,646(4)—3,938(2) Å) и 3 атома Br (Br1, Br5 и Br2#1; расстояния Cs—Br 3,7157(5)—4,2243(5) Å) от двух разных кластерных анионов. Также в структуре наблюдается разупорядочение одной молекулы ДМФА, координированной к атому K1, по двум позициям с заселенностью 0,454(8) и 0,546(8). В кластерном анионе межатомные расстояния лежат в интервалах: Re—Re 2,6203(2)—2,6317(2) Å, Re—Se 2,5124(5)—2,5550(5) Å и Re—Br 2,5688(5)—2,5906(4) Å, что хорошо согласуется с литературными данными [29].

Таким образом, в результате проведенной работы впервые была получена кристаллическая структура комплексного соединения  $[CsK_2(\mu_3\text{-DMF})_2(\mu\text{-DMF})_3(DMF)_4][\{Re_6(\mu_3\text{-Se})_8\}Br_6]$ , содержащего в своем составе кластерный анион  $[\{Re_6(\mu_3\text{-Se})_8\}Br_6]^{3-}$ .

#### СПИСОК ЛИТЕРАТУРЫ

1. Yu S.-B., Watson A.D. // Chem. Rev. – 1999. – **99**. – P. 2353.
2. Федоров В.Е., Миронов Ю.В., Наумов Н.Г., Соколов М.Н., Федин В.П. // Успехи химии. – 2007. – **76**, № 6. – С. 571 [Fedorov V.E., Mironov Y.V., Naumov N.G., Sokolov M.N., Fedin V.P. // Russ. Chem. Rev. – 2007. – **76**. – P. 571].
3. Gao L., Peay M.A., Gray T.G. // Chem. Mater. – 2010. – **22**. – P. 6240.
4. Molard Y., Dorson F., Brylev K.A., Shestopalov M.A., Le Gal Y., Cordier S., Mironov Y.V., Kitamura N., Perrin C. // Chem. Eur. J. – 2010. – **16**. – P. 5613.
5. Naumov N.G., Brylev K.A., Mironov Y.V., Cordier S., Fedorov V.E. // J. Struct. Chem. – 2014. – **55**. – P. 1371.
6. Cordier S., Molard Y., Brylev K.A., Mironov Y.V., Grasset F., Fabre B., Naumov N.G. // J. Clust. Sci. – 2015. – **26**. – P. 53.
7. Aubert T., Ledneva A.Y., Grasset F., Kimoto K., Naumov N.G., Molard Y., Saito N., Haneda H., Cordier S. // Langmuir. – 2010. – **26**. – P. 18512.
8. Коваленко К.А., Дыбцев Д.Н., Лебедкин С.Ф., Федин В.П. // Изв. АН, сер. хим. – 2010. – № 4. – С. 727 [Kovalenko K.A., Dybtsev D.N., Lebedkin S.F., Fedin V.P. // Russ. Chem. Bull. – 2010. – **59**. – P. 741].
9. Kubeil M., Stephan H., Pietzsch H.J., Geipel G., Appelhans D., Voit B., Hoffmann J., Brutschy B., Mironov Y.V., Brylev K.A., Fedorov V.E. // Chem. Asian J. – 2010. – **5**. – P. 2507.
10. Чеплакова А.М., Коваленко К.А., Шестопалов М.А., Брылев К.А., Федин В.П. // Изв. АН, сер. хим. – 2014. – № 7. – С. 1487 [Cheplakova A.M., Kovalenko K.A., Shestopalov M.A., Brylev K.A., Fedin V.P. // Russ. Chem. Bull. – 2014. – **63**. – P. 1487].
11. Efremova O.A., Brylev K.A., Kozlova O., White M.S., Shestopalov M.A., Kitamura N., Mironov Y.V., Bauer S., Sutherland A.J. // J. Mater. Chem. C. – 2014. – **2**. – P. 8630.
12. Брылев К.А., Шестопалов М.А., Хрипко О.П., Трунова В.А., Зверева В.В., Ванг С.С., Миронов Ю.В., Федоров В.Е. // Бюлл. Эксп. Биол. Мед. – 2013. – **155**, № 7. – С. 1487 [Brylev K.A., Shestopalov M.A., Khripko O.P., Trunova V.A., Zvereva V.V., Wang C.C., Mironov Y.V., Fedorov V.E. // Bull. Exp. Biol. Med. – 2013. – **155**. – P. 741].
13. Shestopalov M.A., Zubareva K.E., Khripko O.P., Khripko Y.I., Solovieva A.O., Kuratieva N.V., Mironov Y.V., Kitamura N., Fedorov V.E., Brylev K.A. // Inorg. Chem. – 2014. – **53**. – P. 9006.
14. Krasilnikova A.A., Shestopalov M.A., Brylev K.A., Kirilova I.A., Khripko O.P., Zubareva K.E., Khripko Y.I., Podorognaya V.T., Shestopalova L.V., Fedorov V.E., Mironov Y.V. // J. Inorg. Biochem. – 2015. – **144**. – P. 13.
15. Позмогова Т.Н., Красильникова А.А., Иванов А.А., Шестопалов М.А., Гырылова С.Н., Шестопалова Л.В., Шестопалов А.М., Шкурупий В.А. // Бюлл. Эксп. Биол. Мед. – 2016. – **161**, № 1. – С. 75 [Pozmogova T.N., Krasil'nikova A.A., Ivanov A.A., Shestopalov M.A., Gyrylova S.N., Shestopalova L.V., Shestopalov A.M., Shkurupy V.A. // Bull. Exp. Biol. Med. – 2016. – **161**. – P. 64].
16. Krasilnikova A.A., Solovieva A.O., Trifonova K.E., Brylev K.A., Ivanov A.A., Kim S.-J., Shestopalov M.A., Fufaeva M.S., Shestopalov A.M., Mironov Y.V., Poveshchenko A.F., Shestopalova L.V. // Contrast Media Mol. Imaging. – 2016. – doi: 10.1002/cmmi.1707.
17. Mironov Y.V., Shestopalov M.A., Brylev K.A., Yarovoi S.S., Romanenko G.V., Fedorov V.E., Spies H., Pietzsch H.J., Stephan H., Geipel G., Bernhard G., Kraus W. // Eur. J. Inorg. Chem. – 2005. – P. 657.
18. Mironov Y.V., Brylev K.A., Shestopalov M.A., Yarovoi S.S., Fedorov V.E., Spies H., Pietzsch H.J., Stephan H., Geipel G., Bernhard G., Kraus W. // Inorg. Chim. Acta. – 2006. – **359**. – P. 1129.

19. *Shestopalov M.A., Mironov Y.V., Brylev K.A., Kozlova S.G., Fedorov V.E., Spies H., Pietzsch H.J., Stephan H., Geipel G., Bernhard G.* // J. Am. Chem. Soc. – 2007. – **129**. – P. 3714.
20. *Shestopalov M.A., Cordier S., Hernandez O., Molard Y., Perrin C., Perrin A., Fedorov V.E., Mironov Y.V.* // Inorg. Chem. – 2009. – **48**. – P. 1482.
21. *Ivanov A.A., Shestopalov M.A., Brylev K.A., Khlestkin V.K., Mironov Y.V.* // Polyhedron. – 2014. – **81**. – P. 634.
22. Шестопалов М.А., Иванов А.А., Смоленцев А.И., Миронов Ю.В. // Журн. структур. химии. – 2014. – **55**, № 1. – С. 136 [Shestopalov M.A., Ivanov A.A., Smolentsev A.I., Mironov Y.V. // J. Struct. Chem. – 2014. – **55**. – P. 139].
23. *Ivanov A.A., Khlestkin V.K., Brylev K.A., Eltsov I.V., Smolentsev A.I., Mironov Y.V., Shestopalov M.A.* // J. Coord. Chem. – 2016. – **69**. – P. 841.
24. *Speziali N.L., Berger H., Leicht G., Sanjines R., Chapuis G., Levy F.* // Mat. Res. Bull. – 1988. – **23**. – P. 1597.
25. *Fischer C., Alonsoante N., Fiechter S., Tributsch H., Reck G., Schulz W.* // J. Alloys Compd. – 1992. – **178**. – P. 305.
26. *Yarovoi S.S., Mironov Y.V., Naumov D.Y., Gatilov Y.V., Kozlova S.G., Kim S.J., Fedorov V.E.* // Eur. J. Inorg. Chem. – 2005. – P. 3945.
27. Bruker, APEX2 (Version 1.08), SAINT (Version 7.03), SADABS (Version 2.11), SHELXTL (Version 6.12), Bruker AXS Inc., Madison, WI, USA, 2004.
28. *Sheldrick G.M.* // Acta Crystallogr. Sect. A. – 2008. – **64**. – P. 112.
29. *Long J.R., McCarty L.S., Holm R.H.* // J. Am. Chem. Soc. – 1996. – **118**. – P. 4603.
30. *Fedin V.P., Virovets A.A., Sykes A.G.* // Inorg. Chim. Acta. – 1998. – **271**. – P. 228.
31. *Pilet G., Perrin A.* // Solid State Sci. – 2004. – **6**. – P. 109.